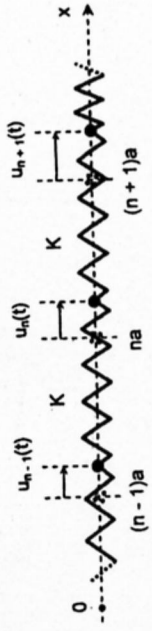


Première partie : Onde élastique dans un barreau solide.

A. Modèle microscopique et approximation des milieux continus.



A.1* a) $F_n = K(u_{n-1} - u_n) + K(u_{n+1} - u_n)$

A.1* b) $\frac{d^2 u_n}{dt^2} = \frac{K}{m} [u_{n+1} + u_{n-1} - 2u_n]$ on pose $\omega_0 = \sqrt{\frac{K}{m}}$

A.2* a) $-\omega^2 \underline{u}_n = \omega_0^2 [u_{n+1} + u_{n-1} - 2u_n]$

A.2* b) $\underline{u}_{n+1} = \underline{u}_{n-1} = \underline{u}_n \rightarrow \omega^2 \underline{u}_n = 0 \Rightarrow \underline{u}_n = 0$
Il s'agit de la limite en basse fréquence.

A.2* c) $-\omega^2 \underline{u}_n = -4\omega_0^2 \underline{u}_n \Rightarrow \omega = 2\omega_0$

A.3* a) Onde progressive se propageant vers les x croissants.
A l'indt de n \rightarrow ni amortissement, ni amplification.

A.3* b) $\underline{u}_{n+1} = \underline{u}_n e^{-jka} \quad \underline{u}_{n-1} = \underline{u}_n e^{+jka}$
 $\rightarrow -\omega^2 \underline{u}_n = \omega_0^2 [e^{-jka} + e^{+jka} - 2] \underline{u}_n$
 $\omega^2 = \omega_0^2 [2 - 2 \cos ka] = 4\omega_0^2 \sin^2 \frac{ka}{2}$

$\omega = \pm 2\omega_0 \sin \frac{ka}{2}$ ou encore avec $\omega > 0$: $\omega = 2\omega_0 \sin \frac{ka}{2}$

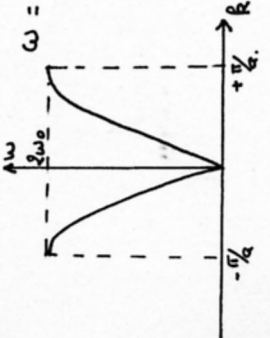
A.3* c) Fonction paire pour $\omega > 0$ décroît entièrement sur le domaine $-\frac{\pi}{a} < k < \frac{\pi}{a}$.

A.3* d) $\underline{u}_n = \underline{u}_{n-1} e^{-jka} = A e^{j(\omega t - \omega z - k(n-1)a)}$
 On pose $ka = \omega z$
 $\rightarrow z = \frac{ka}{\omega} = \frac{2\omega_0 \sin \frac{ka}{2}}{\omega}$

On peut donc définir une vitesse de phase $v_g = \frac{\omega}{k} = \frac{2\omega_0 \sin \frac{ka}{2}}{k}$

v_g dépend de $k \rightarrow$ propagation dispersive.

A.4* a) Par définition $v_g = \frac{d\omega}{dk} = \omega_0 a \cos \frac{ka}{2}$



A.4* b) qd $k \rightarrow 0 \quad v_g \rightarrow \omega_0 a$
 $v_g \rightarrow \omega_0 a$

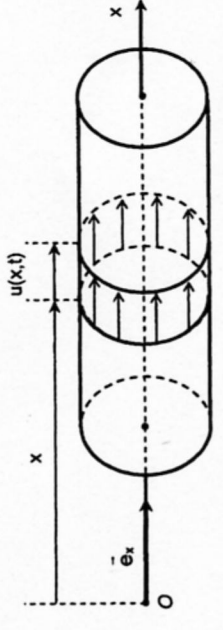
Lorsque $k \rightarrow 0$ la relation de dispersion devient linéaire $\omega = \omega_0 a k$.
 Le milieu n'est plus dispersif. et $v_g = v_g$.

A.4* c) qd $k \rightarrow \frac{\pi}{a} \quad v_g \rightarrow \frac{2\omega_0 a}{\pi}$
 $v_g \rightarrow 0$

ω tend vers sa valeur limite. L'énergie ne peut plus se propager.

A.5 $u_{n+1}(t) = u_n(t) + \frac{\partial u}{\partial x} a + \frac{1}{2} \frac{\partial^2 u}{\partial x^2} a^2$
 $u_{n-1}(t) = u_n(t) - \frac{\partial u}{\partial x} a + \frac{1}{2} \frac{\partial^2 u}{\partial x^2} a^2$
 $m \frac{\partial^2 u}{\partial t^2} = K \frac{\partial^2 u}{\partial x^2} a^2 \Rightarrow \frac{\partial^2 u}{\partial x^2} = \frac{m}{Ka^2} \frac{\partial^2 u}{\partial t^2} = \frac{1}{c^2} \frac{\partial^2 u}{\partial t^2}$
 avec $c = a \sqrt{\frac{K}{m}} = a \omega_0$
 Correspond à la limite du modèle précédent pour $k \ll \frac{\pi}{a}$.
 C'est à dire pour $a \ll \lambda$.

B. Modèle microscopique et module d'Young.



B.1. $\frac{\partial u}{\partial x}$ sans dimension $\rightarrow E$ ou force sur surface.

Une section est allongée sans épaisseur, donc du masse nulle.
 on a donc $\vec{F}_D + \vec{F}_G = 0$.

B.2. $dx' = u(x+dx, t) - u(x, t) + dx$
 $= dx (1 + \frac{\partial u(x,t)}{\partial x})$
 $\underline{\delta} = \frac{dx'}{dx} - 1 = \frac{\partial u(x,t)}{\partial x}$

B.3. pour la tranche d'épaisseur dx : $dm = \rho S dx$

$\rho S dx \frac{\partial^2 u}{\partial t^2} = F_g(x) + F_D(x+dx) - F_D(x) + F_L(x+dx)$
 $\rho S \frac{\partial^2 u}{\partial t^2} = \frac{\partial F_D}{\partial x} = E \frac{\partial^2 u}{\partial x^2} = \frac{1}{c^2} \frac{\partial^2 u}{\partial t^2}$
 avec $c = \sqrt{\frac{E}{\rho}}$

C. Liaison interatomique et module d'Young

$$E_p(x) = -\frac{\lambda}{x^2} + \frac{\mu}{x^{10}}$$

C.1.* a) $F(x) = -\frac{dE_p}{dx} = -\frac{2\lambda}{x^3} + \frac{10\mu}{x^{11}}$

à l'équilibre $F(x_0) = 0 = -\frac{2\lambda}{x_0^3} + \frac{10\mu}{x_0^{11}} \Rightarrow x_0^8 = \frac{5\mu}{\lambda}$

C.1.* b) $\mu = 0,33 \times (0,274)^8 = 2,35 \times 10^{-6} \text{ eV} \cdot \text{nm}^{10}$

$$E_p(x_0) = -\frac{0,33}{(0,274)^2} + \frac{2,35 \times 10^{-6}}{(0,274)^{10}} = -3,94 \text{ eV}$$

$E_p(x)$ représente le puits de potentiel dans lequel se trouve le système A-B à l'équilibre.

C.2. $F(x) = F'(x) + \left(\frac{dF(x)}{dx}\right) \times x = -Kx$

$$\rightarrow K = -\left(\frac{dF(x)}{dx}\right)_{x_0}$$

$$\frac{dF(x)}{dx} = +\frac{6\lambda}{x^4} - \frac{10\mu}{x^{12}}$$

$$K = -\frac{6\lambda}{x_0^4} + \frac{10\mu}{x_0^{12}} = \frac{16\lambda}{x_0^4}$$

A.N. $\lambda = 0,33 \times 4,6 \times 10^{-9} \times 10^{-18} \text{ J} \cdot \text{m}^2$ $K = 10,5 \text{ N} \cdot \text{m}^{-1}$

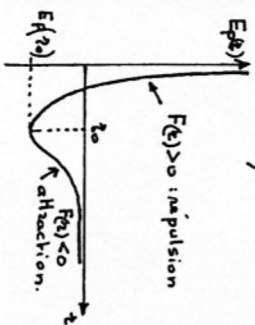
C.3.* a) $a\sqrt{3} = 2r_0 \rightarrow a = 0,346 \text{ nm}$

C.3.* b) Il y a 2 atomes par maille. $\rho = \frac{2m}{a^3}$

C.4.* a) $C = \sqrt{\frac{E}{\rho}} = \sqrt{\frac{K}{3m}} \times a$ $\frac{Ea^3}{2m} = \frac{Ka^2}{3m}$ $E = \frac{2K}{3a}$ (en m?)

$$E = \frac{2 \times 16 \lambda \times \sqrt{3}}{3 \times 20^4 \times 2 \times 20} = \frac{16 \lambda \sqrt{3}}{20^5}$$

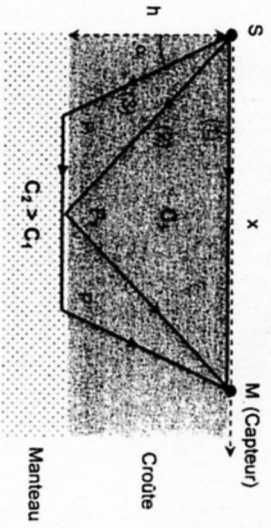
C.4.* b) $E = 2,21 \times 10^{-10} \text{ Pa}$



(3)

deuxième partie : Etude des ondes sismiques terrestres

A. Etude locale



A.1. $c_1 = \frac{x}{c_1}$

A.2. $c_2 = \frac{2}{c_1} \sqrt{x^2 + h^2}$

A.3.* a) $\frac{d \text{ind}}{dx} = \frac{1}{c_2}$

dérivable, on $x > x_m = 2R \tan \alpha$

$$\tan \alpha = \frac{c_1/c_2}{\sqrt{1 - (c_1/c_2)^2}}$$

$$\Rightarrow x_m = \frac{2R \cdot c_1/c_2}{\sqrt{1 - (c_1/c_2)^2}}$$

A.3.* b) $c_3 = \frac{2R}{\cos \alpha} \times \frac{1}{c_1} + \frac{x - 2R \tan \alpha}{c_2}$

$$c_3 = \frac{x}{c_2} + \frac{2R}{\cos \alpha} \left[\frac{1}{c_1} - \frac{\sin \alpha}{c_2} \right] = \frac{x}{c_2} + \frac{2R}{\cos \alpha} \times \frac{1}{c_1} \left[1 - \left(\frac{c_1}{c_2}\right)^2 \right]$$

$$c_3 = \frac{x}{c_2} + \frac{2R}{c_1} \sqrt{1 - \left(\frac{c_1}{c_2}\right)^2}$$

A.4. $c_1 = \frac{x}{c_1} \sim \frac{100}{16} = 6,25 \text{ km} \cdot \text{s}^{-1}$

$$c_2 = \frac{\Delta x}{\Delta t} \approx \frac{200}{20} = 10 \text{ km} \cdot \text{s}^{-1}$$

b) $\frac{2R}{c_1} \left(1 - \left(\frac{c_1}{c_2}\right)^2 \right)^{1/2} \approx 6 \text{ s} = c_3(0)$

$$R = \frac{3c_1}{\sqrt{1 - (c_1/c_2)^2}} = 24 \text{ km}$$

d) $x \left[\frac{1}{c_1} - \frac{1}{c_2} \right] = \frac{2R}{c_1} \sqrt{1 - \left(\frac{c_1}{c_2}\right)^2}$

$$\rightarrow R = \frac{x c_1}{2} \frac{1 - \frac{c_1}{c_2}}{\sqrt{1 - \left(\frac{c_1}{c_2}\right)^2}} = \frac{x c_1}{2} \sqrt{\frac{1 - \frac{c_1}{c_2}}{1 + \frac{c_1}{c_2}}} = 24 \text{ km}$$

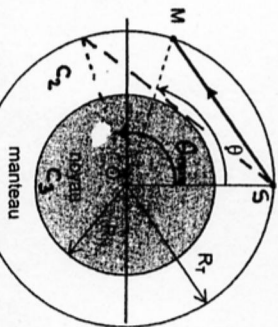
Ces deux résultats sont en excellent accord! surtout compte tenu de l'inhomogénéité des milieux et du caractère simplifié du modèle.

B. Etude à grande échelle

B.1.* a) $\tau = \frac{2Rr \sin \theta}{c_2}$

B.1.* b) $Rr \cos \theta_{\min} = Rr$

B.1.* c) $Rr = 3,85 \times 10^3 \text{ km}$



(4)

⑤

B.2*.a) Non car $C_3 < C_2$

B.2*.b) φ_{max} correspond à $N_{en} N_{max}$ tel que S_{Nmax} soit tangent au noyau.

$\varphi_{max} = \frac{\theta_{min}}{2}$ avec $\frac{RN}{RT} = 53^\circ$

B.2*.c) $SQ = RT \sin \varphi = SN \sin \alpha$

avec $S_N = \sqrt{R_T^2 + R_N^2 - 2R_T R_N \cos \varphi}$
d'où $\sin \alpha = \frac{RT \sin \varphi}{\sqrt{R_T^2 + R_N^2 - 2R_T R_N \cos \varphi}}$

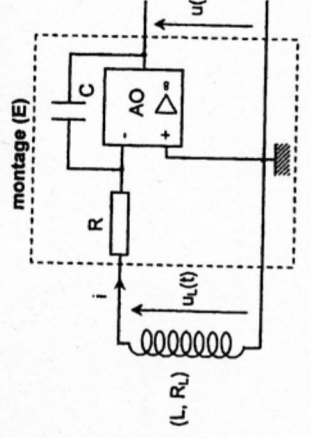
B.2*.d) $\frac{\sin \alpha}{C_2} = \frac{\sin \pi}{C_3} \rightarrow \alpha = \text{Arccos} \left(\frac{C_2 \sin \varphi}{C_3} \right)$

$\theta = 2\varphi + (\theta_N, \theta_{N'}) = 2\varphi + \pi - 2 \text{Arccos} \left(\frac{C_2}{C_3} \frac{RT \sin \varphi}{\sqrt{R_T^2 + R_N^2 - 2R_T R_N \cos \varphi}} \right)$

B.2*.e) Pour les rayons directs (B.1) $0 < \theta < 106^\circ$

pour les rayons SNN' (B.2) $146 < \theta < 180^\circ$

On a donc une zone d'ombre $106 < \theta < 146^\circ$



B.3*.a) $BL \frac{d^2 z}{dt^2} = (R_L + R) i + L \frac{di}{dt}$

$\rightarrow j\omega BL z = (R_L + R + j\omega L) i \rightarrow j\omega BL z = (R_L + R + j\omega L) \frac{I}{j\omega}$

si $\omega L \ll R_L + R \rightarrow z = \frac{R_L + R}{j\omega BL} I$

B.3*.b) Montage intégrateur. $u_L = R_L i \quad u = -\frac{1}{j\omega C} i \rightarrow u = -\frac{u_L}{j\omega C}$

B.3*.c) $(\omega_0^2 - \omega^2) z + \frac{BL}{m} \times \frac{j\omega BL}{R_L + R} z = +\omega^2 z = +\omega^2 z_0$

$\rightarrow \frac{z}{z_0} = \frac{\omega^2}{\omega_0^2 - \omega^2 + j\omega \frac{BL^2}{m(R_L + R)}}$

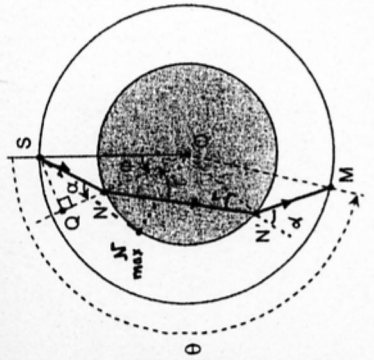
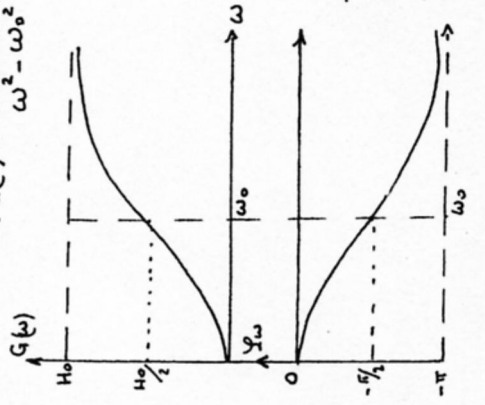
$\rightarrow \frac{u}{z_0} = \frac{-BL}{C(R_L + R)} \frac{\omega^2}{\omega_0^2 - \omega^2 + j\omega \frac{BL^2}{m(R_L + R)}}$
 $\rightarrow \begin{cases} H_0 = \frac{BL}{C(R_L + R)} \\ \lambda = \frac{BL^2}{2m(R_L + R)} \end{cases}$

B.4*.a) $\lambda = \omega_0 \rightarrow G(\omega) = H_0 \frac{\omega^2}{\sqrt{(\omega_0^2 - \omega^2)^2 + 4\omega_0^2 \lambda^2}} = H_0 \frac{\omega^2}{\omega_0^2 + \omega^2}$

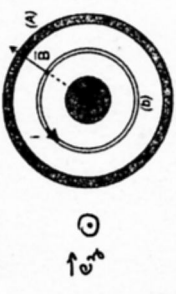
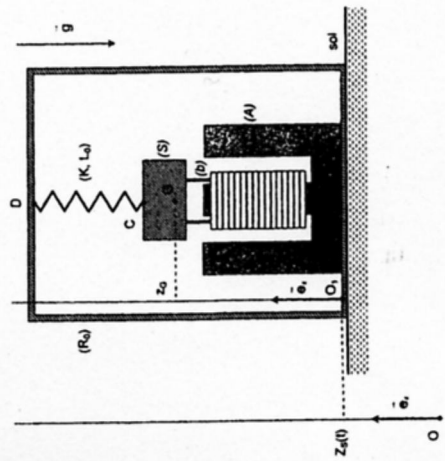
avec $\cos \varphi(\omega)$ du signe du $\omega_0^2 - \omega^2$

B.4*.b) filtre passe haut

$G_{dB} = 20 \log G(\omega) = 20 \log H_0 + 10 \log \omega - 20 \log(\omega_0^2 + \omega^2)$
pour $\omega > 10\omega_0 \quad G_{dB} = 20 \log H_0 - 20$
 $\omega < 10\omega_0 \quad G_{dB} = 20 \log H_0 + 10 \log \omega - 10 \log \omega_0$
 $\omega = \omega_0 \quad G_{dB} = 20 \log H_0 - 20 \log 2$



Troisième partie. Sismographe électromagnétique



A. Bobine en circuit ouvert

A.1. R_0 n'est pas galiléen lorsque le bâti est accéléré.

A.2. $\vec{v}_e = \frac{dz(t)}{dt} \vec{e}_z \quad \vec{a}_e = \frac{d^2 z(t)}{dt^2} \vec{e}_z$

A.3. $L(t) - L_{eq} = \beta e_q - \beta g(t)$ (dans R_0)
 $L(t) = L_{eq} - \beta(t)$

A.4. $m \left(\frac{d^2 z}{dt^2} + \frac{d^2 z_s}{dt^2} \right) = -K(L_0 - L(t)) - mg$

à l'équilibre $K(L_0 - L_{eq}) = -mg$

$\rightarrow m \left(\frac{d^2 z}{dt^2} + \frac{d^2 z_s}{dt^2} \right) = K(L(t) - L_{eq})$

$\frac{d^2 z}{dt^2} + \frac{K}{m} z = -\frac{d^2 z_s}{dt^2} \rightarrow \omega_0 = \sqrt{\frac{K}{m}}$

B. Étude du dispositif de détection des vibrations.

B.1. Sur chaque élément du spire $d\vec{F} = -idl\vec{B}\vec{e}_z$

\rightarrow sur toute la bobine $\vec{F} = -i l B \vec{e}_z$
 $\rightarrow \frac{d^2 z}{dt^2} + \frac{BL}{m} z + \omega_0^2 z = -\frac{d^2 z_s}{dt^2} \quad \rightarrow \quad \chi = \frac{BL}{m}$

B.2*.a) $d\vec{e} = (\vec{v}_A \cdot \vec{B}) d\vec{l} = \frac{d^2 z}{dt^2} \times B \times d\vec{l}$

$\rightarrow e = -BL \frac{d^2 z}{dt^2}$

B.2*.b) Couplage électrodynamique par induction?

$e = (R_L + R) i + L \frac{di}{dt}$

B.3*.a) $BL \frac{d^2 z}{dt^2} = (R_L + R) i + L \frac{di}{dt}$

$\rightarrow j\omega BL z = (R_L + R + j\omega L) i \rightarrow j\omega BL z = (R_L + R + j\omega L) \frac{I}{j\omega}$

si $\omega L \ll R_L + R \rightarrow z = \frac{R_L + R}{j\omega BL} I$

B.3*.b) Montage intégrateur. $u_L = R_L i \quad u = -\frac{1}{j\omega C} i \rightarrow u = -\frac{u_L}{j\omega C}$

B.3*.c) $(\omega_0^2 - \omega^2) z + \frac{BL}{m} \times \frac{j\omega BL}{R_L + R} z = +\omega^2 z = +\omega^2 z_0$

$\rightarrow \frac{z}{z_0} = \frac{\omega^2}{\omega_0^2 - \omega^2 + j\omega \frac{BL^2}{m(R_L + R)}}$

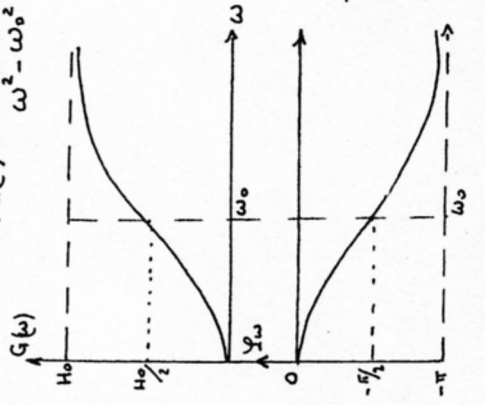
$\rightarrow \frac{u}{z_0} = \frac{-BL}{C(R_L + R)} \frac{\omega^2}{\omega_0^2 - \omega^2 + j\omega \frac{BL^2}{m(R_L + R)}}$
 $\rightarrow \begin{cases} H_0 = \frac{BL}{C(R_L + R)} \\ \lambda = \frac{BL^2}{2m(R_L + R)} \end{cases}$

B.4*.a) $\lambda = \omega_0 \rightarrow G(\omega) = H_0 \frac{\omega^2}{\sqrt{(\omega_0^2 - \omega^2)^2 + 4\omega_0^2 \lambda^2}} = H_0 \frac{\omega^2}{\omega_0^2 + \omega^2}$

avec $\cos \varphi(\omega)$ du signe du $\omega_0^2 - \omega^2$

B.4*.b) filtre passe haut

$G_{dB} = 20 \log G(\omega) = 20 \log H_0 + 10 \log \omega - 20 \log(\omega_0^2 + \omega^2)$
pour $\omega > 10\omega_0 \quad G_{dB} = 20 \log H_0 - 20$
 $\omega < 10\omega_0 \quad G_{dB} = 20 \log H_0 + 10 \log \omega - 10 \log \omega_0$
 $\omega = \omega_0 \quad G_{dB} = 20 \log H_0 - 20 \log 2$



B.5*a) ω_0 doit être faible. \rightarrow K faible et m grande

B.5*b) $\frac{\omega^2}{\omega_0^2 + \omega^2} = 0,99 \rightarrow 0,01\omega^2 \neq \omega_0^2 \quad \omega_0 = \frac{\omega}{10} \rightarrow \underline{\underline{\rho > 10^2}}$

B.5*c) $f_H = 0,1 \text{ Hz}$

B.5*d) $0,1 = \frac{1}{2\pi} \sqrt{\frac{K}{m}} \rightarrow m = \frac{K}{(0,2\pi)^2} = 1,26 \text{ Tonnes} \text{ ???}???$

(j'émets des doutes sur la valeur de K !)

